

## 原子爐計測을 위한

## 薄膜中性子熱電對의 試作 및 特性

金 東 勳

原子爐制御를 위한 中性子熱電對의 應答時間 短縮을 目的으로 真空蒸着法 薄膜熱電對를 利用하여 中性子熱電對를 試作하였다. 이의 實驗結果를 線熱電對의 것과 比較하였으며, [熱中性子束範圍  $2 \times 10^8 \sim 8 \times 10^{12}$  neutrons/cm<sup>2</sup>/sec]에서 좋은 線型特性을 가지고 있었다.

試作한 薄膜中性子熱電對를 使用하여 TRIGA MARK-II 原子爐 爐心에서의 热中性子束分布를 測定하였다.

## 1. 序 論

原子爐制御를 위하여 爐內의 中性子束를 測定하는 것은 大端히 重要하며 特히 爐心 各位置에서의 出力分布를 正確히 把握하므로 原子爐의 安全과 性能을 改良하는 過程에 大은 도움이 된다.

現在 原子爐의 中性子束測定에는 大概 電離函(ionization chamber)이 使用되고 있으나, 爐心의 細緻한 中性子束分布測定에는 다음과 같은 不利點으로 因하여 거의 不可能하다. 即,

1) 크기가 커서 測定하고자 하는 位置에 配置할 수 없으며, 測定器 自體가 複雜하고 脆弱하다는點

2) 測定器에 高電壓이 要求되어 必然的으로 絶緣問題가 있다는 點

3) 附屬增幅器의 安定性이 문제가 된다는 點等이다.

따라서 이상과 같은 缺點들을 除去한 各種 方法이 開發되어 왔다. 그중 热電對의 接點과 中性子와 反應斷面積이 큰 物質을 被覆하여 核反應時發生되는 에너지에 의한 溫度上昇으로 由어지는 热電對의 起電力を 測定하도록 된 中性子熱電對<sup>1,2,3)</sup>가 그 原理上 小型化가 可能하여 原子爐의 어떤 位置에서도 中性子束測定이 可能하며, 構造가 간단하고 低廉하고, 特히 機械, 化學 및 放射學의 安定性特의 長點으로 因하여 각광을 받고 있다. 그러나 中熱電對의 原理上 그 應答速度(response time)가 빨다는 缺點이 있다. 現在 商品化되어 있는 中性子熱電對의 時定數는 10sec程度로서 原子爐의 制御系統에 使用되는 計測器가 必要한 應答速度인 100msec에 比하면 빨은 改良이 要求된다. 이를 위하여 計測에 各種 時定數補

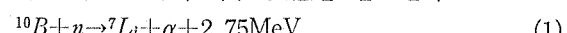
償回路을<sup>4)</sup> 使用하므로서 應答速度를 1/10程度로 短縮시켰으며, 其他 特別한 素子를 製作하므로서 時定數를 37msec로 낮춘 例도 있다.<sup>5)</sup>

本研究는 應答速度가 빠른 中性子熱電對를 開發하는데 그 目적이 있으며 이를 위하여 热負荷가 极히 작고 應答速度가 빠른 薄膜熱電對를 利用한 中性子熱電對를 試作하여 原子爐內에서 그 性能을 試験하는 것이다.

## 2. 測 定 原 理

熱電對를 利用한 热中性子束測定은 热電對接點에 被覆된 反應物質과 中性子와의 反應으로 因한 溫度上昇을 利用한 間接의 方法이다. 反應物質의 選定要件에는 接點에 反應物質의 被覆이 容易하고, 中性子와의 反應斷面積이 크며, 入射中性子當 發生에너지가 充分히 크고, 反應時間이 짧아야한다는 點等을 들을 수 있다. 이를 條件에一致된 物質로서는 보론 10과 우라늄 235等이 있으며, 實際 利用되는 形態로서는 Nat. B, <sup>10</sup>BC, <sup>235</sup>U, <sup>235</sup>UO<sub>2</sub>等의 物質이 있다.

本研究에 使用된 反應物質은 86%로 濃縮된 보론 10으로서 热中性子와의 다음 反應을 일으킨다.



여기서 <sup>10</sup>B의 热中性子吸收斷面積은 약  $4000 \pm 10\text{ barn}$  ( $1\text{ barn} = 10^{-24}\text{cm}^2$ ) 으로서 보론層에서의 热中性子 平均自由行程은 大略 0.02mm가 된다. 即 接點에 0.02mm 이상의 <sup>10</sup>B을 被覆하면 入射中性子의 全部를 吸收시킬 수 있다는 計算이다. 萬一 <sup>10</sup>B에 入射된 热中性子가 모두 吸收된다고 假定하면, 中性子捕獲率  $R$ 은

$$R = \frac{m\sigma A}{10} \phi (\text{n/sec}) \quad (2)$$

여기에서

$m = {}^{10}B$  의 무게

$A = \text{Avogadro's number}$

$\sigma = \text{中性子吸收斷面積}$

$\phi = \text{中性子束密度}$

이다. 이 반응에서放出되는  $\alpha$ 粒子의硼素層內에서의平均自由飛程은 약  $5 \times 10^{-3} \text{ mm}$ 이며  $7Li$ 核은 이보다 훨씬짧다. 따라서大部分의 에너지는硼素層에吸收된다. 만일 여기서全에너지가硼素層에吸收되었을 때에發生에너지  $Q$  watt-sec 라하면熱에너지放出率은  $RQ$  watt가된다. 그러나 이關係式은理想的한境遇이며, 實際는 다음과 같이 된다. 即

$$w = \eta_1 \eta_2 RQ \\ = 2.34 \times 10^{-11} m\phi \quad (3)$$

여기에서

$w = \text{熱에너지发生率}$

$\eta_1 = \text{硼素層에吸收되는反應에너지率} (\approx 79\%)^3$

$\eta_2 = \text{硼素의自己遮蔽에依한中性子捕獲率} \\ (\approx 77\%)^4$

가된다.勿論 이때에硼素層의表面對流와輻射에의한熱損失도 있으나 式(3)의線型特性에는無關하다.

以上은熱接點에對하여論하였으며, 上記의反應外에gamma線에依한加熱과 주위溫度를補償하는冷接點을必要로 한다.理論的으로 보아熱 및 cold接點은同一한形態와 같은位置에 있어야 하지만 實際는不可能하며, 따라서冷接點에도硼素層과類似한他物質을被覆시켜熱接點에接近시키는方法을擇하고 있다.

### 3. 中性子熱電對의製作

薄膜型과線型의 두種類의中性子熱電對를試作하였다. 热電對物質로서는アルミニウム과クロム을使用하였다. 中性子와의反應物質은鑛油에混合되어 있는濃縮度 86%인  ${}^{10}B$ 을利用하였다. 製作된 이들中性子熱電對는反應物質이被覆된熱接點과周圍溫度 및 gamma線加熱을補償하여주는冷接點으로構成된單位素子들의直列連結로만들었다.

#### 3.1 線中性子熱電對의製作

試作된薄膜中性子熱電對의特性을比較하기 위하여製作된線中性子熱電對는直徑 0.5mm의 Alumel-Chromel線을利用하여Butt溶接에의하여接點을만들었다. Butt溶接은出力이 5.0 volt, 2.2Amp인 Leakage transformer를使用하여行하였으며, 热電對의溶解을補償

하도록간단한裝置를製作하였다.热電對의接點을만든후전체를高溫爐에서약 1200°C로Annealing過程을거친다음接點을均一하게加工하였다.完成된热電對의接點數는모두14개이었으며, 이를組立하기 위하여一般热電對의誘導管으로使用되고있는알루미나管을使用하였다. 알루미나管은原子爐內에서높은中性子束에서使用可能하며동시에絕線이좋아選定되었다.製作된中性子热電對의單位素子와組立된모양은그림1에서보여주고있다.冷接點과热接點間의길이는組立上難點과兩接點間의溫度勾配를考慮하여約4cm로하였다.

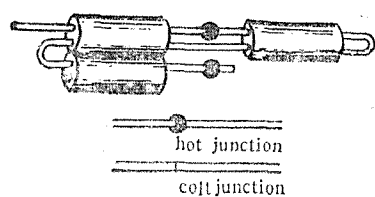
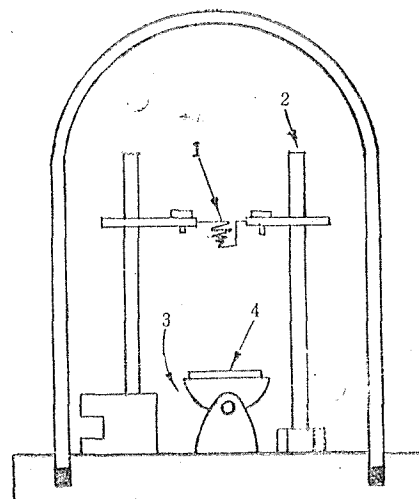


Fig. 1. Unit element of wire N.T.P. (above) and its assembly (below)

그림-1. 線中性子熱電對의 單位素子(上)와 集合體(下)

測定素子集合體를製作組立한 다음에硼素層을被覆하였다.前述한마와같이硼素는鑛油에混合되어있으므로



1. tungsten basket      2. high current leads  
3. basement            4. substrate

Fig. 2. vacuum evaporator  
그림-2. 真空蒸着装置

로 이를 热接點에 바른 다음 鎌油를 蒸發시켰다. 過程은 热電對에 15volt의 電壓을 加하여 長時開蒸發시키면서 차차 被覆두께를 增加시켜 硼素球의 直徑이 약 1mm가 될때까지 繼續하였다.

### 3.2. 薄膜中性子热電對의 製作

本研究에 利用된 热電對는 線型中性子热電對의 構造와 같이 Alu.nel-Chromel이며, 薄膜热電對는 얇은 Alumina 板(10mm width×50mm Length×0.7mm Thick)에 热電對物質을 各各 真空蒸着시켰다. 使用된 真空蒸着裝置는 JEOL model JEE-4C로서 真空度는  $3 \times 10^{-5}$  Torr 程度였다. 真空蒸着裝置와 热電對素子의 位置를 그림-2가 보여주고 있다. 蒸着되는 薄膜热電對의 두께는 2,500°A以上일 경우에 bulk 와 같은 特性을 나타내며, 그 起電力에 있어서는  $1\mu$  程度가 適合하므로 대략  $1\mu$ 에 되도록 數次 반복하여 蒸着시켰다. 同時に 薄膜의 두께와 時定數와 密接한 關係가 成立된다. 即 時定數  $\tau$ 는<sup>8)</sup>

$$\tau = \frac{C\rho d^2}{k\pi^2} \quad (4)$$

여기서

C: 薄膜의 比熱

$\rho$ : 薄膜의 密度

k: 热傳導度

d: 薄膜의 두께

이며, 이를 Chromel-Alumel 热電對에 對하여 整理하면

$$\tau = 0.512d^2 \quad (5)$$

가 된다. 即, 薄膜의 時定數는 그 두께에 直接關係가 된다. 試作된 薄膜의 時定數는 式 (5)에 의하여 約 5nsec가 되는 셈이다.

完成된 薄膜热電對는 全部 32個의 热電對로 構成되어 있다. 热接點에 硼素被覆은 鎌油에 混合된 硼素를 바로 이로 高溫爐에서 約 200°C로 維持시켜 蒸着시켰다.

### 4. 實驗 및 結果

試作된 線 및 薄膜中性子热電對는 알미늄容器(內徑 12mmφ, 길이 50mm)에 密封放水시켜 길이 6m 程度의 coaxial cable(impedance 93Ω)로 連結하였다. 測定에 利用된 計器는 Keithley model 153 microvolt-Ammeter로서 本實驗에 利用된 測定範圍에서의 impedance는 200 MΩ으로서 試作된 線型中性子热電對의 線抵抗 0.12Ω 및 薄膜型中性子热電對의 線抵抗인 3.5KΩ에 比較하여 充分히 큰 impedance를 가지고 있다.

測定位置은 TRIGA MARK-II 原子爐心의 中心部인 Central thimble(C.T.)과 爐心의 最外測인 F-ring을 選擇하였다. 热中性子束은 中心인 central thimble에서 가장 높으며 F-ring에서 가장 낮다. 實驗은 우선 C.T.의

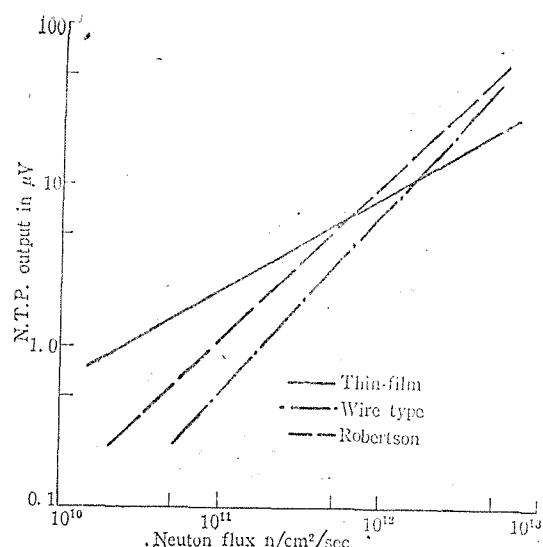


Fig. 3. Neutron flux vs. N.T.P. output

그림-3. 中性子束과 中性子热分對의 出力關係

中心에 中性子热電對를 固定시키고, 原子爐의 出力を 10Watt에서 250KW까지 增加시키면서 각 出力準位에서 임계에 到達시키고 steady operation後 中性子热電對의 起電力を 測定하였다. 同時に 時間的인 變化는 Recorder를 利用 記錄하였다.

實驗結果는 放射化測定法에 의한 热中性子束의 絶對測定資料<sup>7)</sup>를 이용, 中性子束에 따른 出力으로 換算하여 그림-3에 圖示하였다. 그림-3의 热電對出力은 單位素子의 平均值이며, Lapsley<sup>22</sup>의 結果와 比較하였다. 또한 F-ring의 中心에 測定素子를 固定시키 原子爐出力에 따른 起電力を 測定하였으며, 이들 結果를 그림-4에 圖示하였다. 그림-4에서 볼 수 있는 바와 같이 이들 中性子热電對의 起電力은 原子爐出力, 即 热中性子束에 對하여 좋은 線型特性을 보여주고 있으며, 特히 薄膜中性子热電對의 경우에 線热電對에 比하여 낮은 出力에서도 좋은 感度를 보여 주었다.

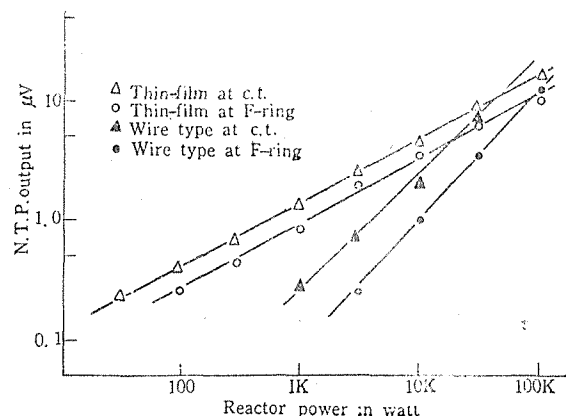


Fig. 4 Reacter power vs. N.T.P. output

그림-4. 原子爐出力과 中性子热電對出力과의 關係

## 5. 結論

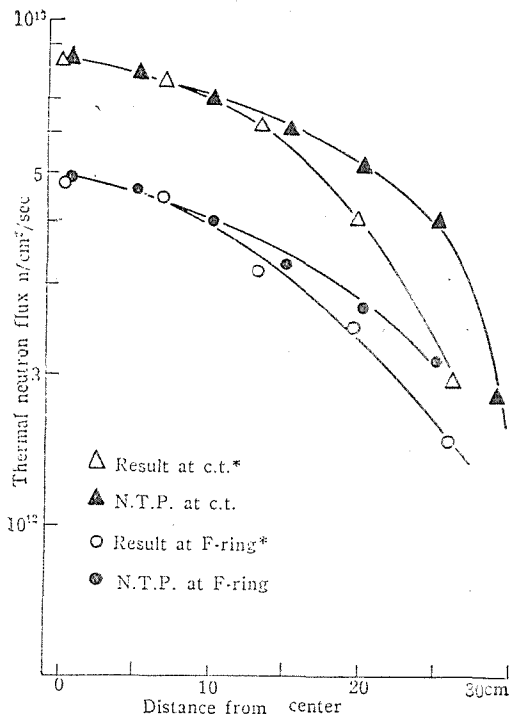
試作薄膜中性子熱電對을 利用하여 TRIGA MARK-II 原子爐에서 그特性를 測定하고 아울러 热中性子束分布를 測定하였다. 試作結果는 다음과 같다.

1. 中性子熱電對의 크기는  $2\text{mm} \times 10\text{mm} \times 50\text{mm}$ 이며 防水를 위한 容器는  $16\text{mm}\phi \times 100\text{mm}$ 이다. 그러나 热電對의 크기를 줄이므로서 全體 크기를 훨씬 작게製作이可能하다.

2. 原子爐의 出力에 對한 中性子熱電對의 出力은 넓은範圍에서 좋은 線型特性을 보여 주고 있으며, TRIGA MARK-II에서 얻을 수 있는 热中性子束인  $8 \times 10^{13} \text{m}/\text{cm}^2/\text{sec}$ 까지는 測定素子의 出力飽和現狀은 없었다.

3. 热中性子束과 測定素子들의 出力關係曲線에서 그 기울기가 薄膜型이 線型보다 낮음을 發見하였다.

## 参考文獻



\* Activation Analysis result<sup>7)</sup>

Fig. 5. Aial distribution of Thermal neutron Flux  
그림-5. 垂直方向의 热中性子束分布

薄膜中性子熱電對를 使用하여 Central Thimble과 F-ring에서 垂直方向의 热中性子束分布를 測定하였다. 實驗은 測定素子를 爐心 各位置에서 最低端部로부터 2.5cm 간격으로 測定하였으며, 이때 얻은 結果와 放射化法에 의하여 얻은 結果<sup>7)</sup>를 그림-5에 圖示하였다. 두가지 結果를 中心에서 規格化시켰으며, 爐心兩端으로 갈수록 두 結果가 相異함은 主로 測定位置가 다르기 때문이다.

- 久保盟唯, 國產ニュートロンンサモパイル, 原子力工業, 第5卷, 第12卷, 1965
- A. C. Lapsley, AECU-2406, Jan., 1953
- D. Robertson, AECU-3416, Dec., 1956
- 片岡治雄, 中性子熱電對의 第一次 原子の計裝系への活用 應用物理, 第38卷 第七號, p. 634-644, 1969
- T. S. Gray & A. B. Van Rennes, AIEE comm, & Elect July, 1957
- K. P. Chopra et. al., Thermopower in Thin-film copper-constantan couples, J of Appl. Phys. vol. 39, No. 3, p1525, Feb, 1968
- 김동훈의, TRIGA Mark-II의 250KW 출력증강후 중성자속 분포측정 연구연보 제9권 2호, 원자력연구소, 1969
- D. D. Thorburg, The Theromoelectric power of Au-Ni Thin-film Thermocouples, Uni of Illinois, Oct, 1968

科學技術과 產業은 夫婦와 같은 關係에 있다 집안 살림이 夫婦의 協同으로 잘 이루어 질 수 있듯이 科學技術은 產業隆盛의 絶對的인 要素이며 따라서 産業人은 科學技術開發에 깊은 關心을 가져야 한다.